

Малли и Фрейга [7] выполнили расчет  $\lambda$  с использованием волновых функций Хартри—Фока. Фримен [8], Блюм и Ватсон [9] для тех же целей использовали спин-орбитальный оператор сложного вида. Однако во всех перечисленных случаях вычисления носили либо ограниченный характер, либо давали приблизительное совпадение с экспериментом.

В настоящей работе путем тщательного анализа экспериментальных значений параметра  $\lambda$  [10—19] получены соотношения, связывающие параметр  $\lambda$  с переменными  $Z$  и  $K$ . Причем принимались во внимание следующие соображения чисто интуитивного порядка.

Параметр спин-орбитальной связи  $\lambda$  изменяется монотонно с изменением ядерного заряда  $Z$ .

Зависимость  $\lambda$  от числа электронов  $K$  на  $3d$  оболочке аналогична закономерности  $\lambda$  от  $Z$ .

С этих позиций метод аппроксимаций экспериментальных данных [10—19] для элементов Sc—Mn при заполнении  $3d$  оболочки до половины дает выражение

$$\lambda_0 = \gamma \exp(0,47Z - 0,5K), \quad (10)$$

а для элементов Fe—Cu при заполненной оболочке более чем наполовину, имеем

$$\lambda_0 = -\gamma \exp(0,2Z + 0,5K), \quad (11)$$

где  $\gamma = 28 \cdot 10^{-3} \text{ см}^{-1}$ ,  $Z$  — заряд ядра атома,  $K$  — число электронов на  $3d$  оболочке.

Сравнение литературных данных с результатами, полученными в этой работе (см. таблицы 1—3), говорит о целесообразности представления  $\lambda_0$  в виде функции  $Z$  и  $K$ .

#### ЛИТЕРАТУРА

1. Watson R. E. Phys. Rev., **117**, 742, 1960.
2. Watson R. E. Phys. Rev., **119**, 1934, 1960.
3. Hartree D. R. Revs. Mod. Phys., **30**, 63, 1958.
4. Cavidlis C. Nuovo Cim., **14**, 649, 1959.
5. Sturge M. D. Phys. Rev., **130**, 639, 1963.
6. Собельман И. И. Введение в теорию атомных спектров. М., Физматгиз, 1963.
7. Malli G., Froga S. Theoret. chim. acta, **7**, 80, 1967.
8. Freeman A. I., Frankel R. B. Hyperfine interactions. Acad. press. N. Y., 1967.
9. Blum M., Watson R. E. Prog. Roy. Soc., **A270**, 127, 1962.
10. Liehr A. D. Phys. Chem., **67**, 1314, 1963.
11. Лой В. Парамагнитный резонанс в твердых телах. М., 1962.
12. Kikuchi C. Phys. Rev., **92**, 109, 1953.
13. Mackinnon I. A. Canad. Phys., **44**, 2329, 1966.
14. Nicula A. Chem. Phys., **42**, 36845, 1965.
15. Geschwind S. Appl. Phys., **33**, 370, 1962.
16. Low W. Phys. Rev., **101**, 1827 (L), 1956.
17. Low W. Phys. Rev., **118**, 1130, 1960.
18. Hall T. P. P. Proc. Phys. Soc., **78**, 255, 1961.
19. Herritsen H. I. Phys. Rev., **132**, 1507, 1963.

Поступила в редакцию  
15.9 1971 г.

НИИЯФ

УДК 621.373

Г. Я. КАМАСHEV, Е. А. ИРИСОВ, И. И. МИНАКОВА

### ВЛИЯНИЕ ОДНОНАПРАВЛЕННОЙ СВЯЗИ НА РЕЖИМЫ ДВУХКОНТУРНОГО АВТОГЕНЕРАТОРА

В многоконтурной автоколебательной системе кроме обычных симметричных реактивных и резистивных связей между контурами могут существовать еще и однонаправленные [1] и запаздывающие связи [2]. Многоконтурный автогенератор со сложными связями моделирует также системы стабилизации частоты генераторов СВЧ,

сложные системы ФАП и т. д. В работе рассматриваются стационарные режимы двухконтурного автогенератора, у которого между контуром генератора и нагружающим контуром есть два типа связи. Одна связь — обычная симметричная, эта связь может быть реактивной или резистивной. Кроме того, имеется еще канал однонаправленной связи, по которому колебания в контуре генератора воздействуют на колебания в нагружающем контуре. Однонаправленный канал связи имеет постоянный коэффициент усиления  $k$  и может вносить фиксированный сдвиг фазы  $\theta$ .  $k$  и  $\theta$  не зависят от частоты. При индуктивной связи запишем уравнения движения системы

$$\begin{aligned} \ddot{I}_1 + 2\delta(I_1) \dot{I}_1 + \nu_1^2 I_1 + \alpha_1 \ddot{I}_2 &= 0, \\ \ddot{I}_2 + 2\delta_2 \dot{I}_2 + \nu_2^2 I_2 + \alpha_2 \ddot{I}_1 &= k \dot{I}'(\theta), \end{aligned} \quad (1)$$

$\alpha_1 = \frac{M}{L}$ ,  $\alpha_2 = \frac{M}{L_2}$  и  $k$  полагаем малыми, порядка обратной величины добротности контуров. Решение уравнений (1) в квазилинейном случае:  $I_1 = A \sin(\omega t - \varphi)$ ,  $I_2 = B \sin \omega t$ ,  $I'(\theta) = A \sin(\omega t - \varphi + \theta)$ . Отсюда амплитудные кривые в стационарном режиме для относительных амплитуд  $\rho^2 = \frac{\alpha_1 B^2}{|\alpha_4| A^2}$  и расстройки парциальных частот  $\eta = (v_1 - v_2) \frac{1}{\delta_2}$  имеют вид

$$\eta = \pm \left( \frac{\alpha_3}{|\alpha_4|} \rho^2 - 1 \right) \sqrt{\frac{\kappa^2}{\rho^2} - 1} + \frac{k \sin \theta}{|\alpha_4|} \rho^2. \quad (2)$$

Здесь

$$\alpha_4^2 = (\alpha_2 + k \cos \theta)^2 + k^2 \sin^2 \theta = \alpha_3^2 + k^2 \sin^2 \theta \quad \text{и} \quad \kappa^2 = \frac{\alpha_1 \alpha_4 \omega^2}{4\delta_2^2}.$$

Частотные кривые могут быть получены для случая перестройки одного из контуров при фиксированной парциальной частоте второго. Частотная кривая при перестройке контура генератора имеет вид

$$\eta = \left[ 1 - \frac{\alpha_3 \kappa^2}{|\alpha_4| (\xi^2 + 1)} \right] \xi + \frac{k \sin \theta \kappa^2}{|\alpha_4| (\xi^2 + 1)}, \quad (3)$$

где  $\xi = (\omega - v_2) \frac{1}{\delta_2}$ .

Условия устойчивости найденных стационарных режимов

$$2 - \frac{\alpha_3}{|\alpha_4|} \rho^2 + \frac{k \sin \theta}{\alpha_4} \rho^2 \sqrt{\frac{\kappa^2}{\rho^2} - 1} > 0, \quad (4)$$

$$\left( 1 - \frac{\alpha_3}{|\alpha_4|} \rho^2 \right) + \frac{2k \sin \theta}{\alpha_4} \rho^2 \sqrt{\frac{\kappa^2}{\rho^2} - 1} + \left( \frac{\alpha_3}{|\alpha_4|} \rho^2 + 1 \right) \left( \frac{\kappa^2}{\rho^2} - 1 \right) > 0. \quad (5)$$

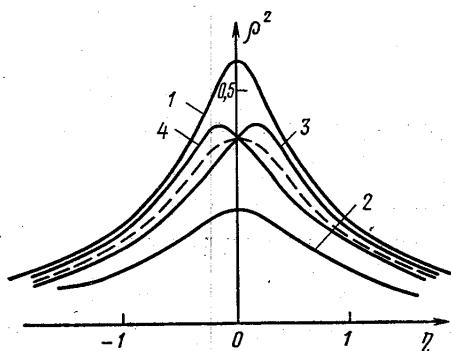


Рис. 1.  $k = \text{const}$ ,  $\alpha < \alpha_{кр}$ ,  $1 - \theta = 0$ ,  $2 - \theta = \pi$ ,  $3 - \theta = \pi/2$  и  $4 - \theta = -\pi/2$

При малых связях  $\kappa$  граница неустойчивых амплитуд (4) лежит выше любой точки кривой (2), т. е. все определяемые из (2) амплитуды устойчивы. Однако при определенных  $k$  и  $\theta$  может появиться неоднозначность амплитудной и частотной кривой и требуется учет фазового условия устойчивости (5). Из уравнений (2) и (3) может быть сделан вывод о зависимости характера связи между парциальными системами от параметров канала несимметричной связи. В наиболее простом случае при  $\theta = 0, \pi$  последние члены уравнений (2) и (3) равны нулю и характер кривых начинает зависеть от величины  $\alpha_3 = \alpha_2 + k \cos \theta = \alpha_2 + k_2$ . Так, при  $k_2 > 0$  или  $k_2 < 0$ , но  $\alpha_2 > k_2$  уравнения (2) и (3) имеют вид уравнений системы с реактивной связью между контурами [3]. При  $k_2 < 0$  и  $\alpha_2 < k_2$  получаем уравнения системы с резистивной связью [4].

Таким образом, в рассматриваемом случае изменение типа полной эквивалентной связи между контурами можно осуществить подбирая соответствующий сдвиг фазы  $\theta$  и меняя коэффициент усиления  $k$  однонаправленного канала связи.

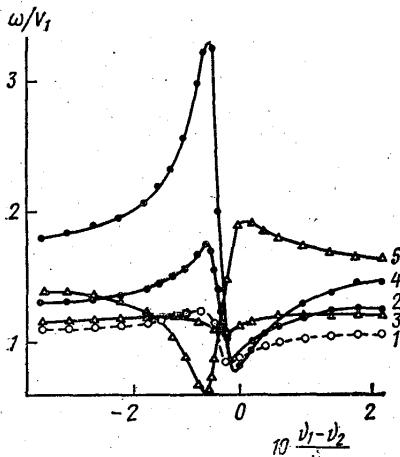


Рис. 2.  $v_1 = \text{const}$ ,  $\alpha < \alpha_{\text{кр}}$ , 1 —  $K=0$ , 2 —  $K=K$ ,  $\theta=0$ ; 3 —  $K=K_2 > K$ ,  $\theta=0$ , 4 —  $K=K_1$ ,  $\theta=\pi$ ; 5 —  $K=K_2$ ,  $\theta=\pi$

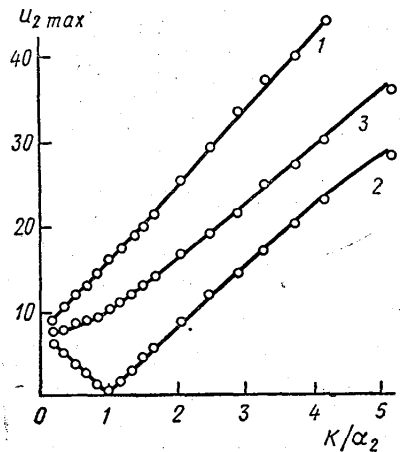


Рис. 3.  $\alpha_2 = \text{const}$ , 1 —  $\theta=0$ , 2 —  $\theta=\pi$ , 3 —  $\theta = \pm \pi/2$

Амплитудные кривые (2) в зависимости от расстройки  $\eta$  при фиксированных значениях  $\theta$  приведены на рис. 1. При  $\theta=0$  (кривая 1) и  $k > 0$  происходит увеличение амплитуды колебаний во втором контуре по сравнению с амплитудой в отсутствие канала связи ( $k=0$  — пунктир). При этом при увеличении  $k$  кривая может стать неоднозначной, т. е. эквивалентная полная связь может стать больше критической. При  $\theta=\pi$  амплитуда соответственно уменьшается (кривая 2), тем сильнее, чем больше  $k$ . При  $k_1/\alpha_2=1$  колебаний во втором контуре нет,  $B=0$ , эквивалентная связь равна нулю.

При  $k > k_1$  амплитуда  $B$  начинает нарастать при возрастании  $k$ . Для случая  $\theta = \pm \frac{\pi}{2}$  возникает максимальная асимметрия (кривые 3 и 4) и происходит сдвиг амплитудных (а также частотных и фазовых) кривых относительно оси  $\eta=0$ . Величина деформации и сдвига кривых также существенно зависит от соотношения  $k/\alpha_2$  и максимальна при  $k/\alpha_2=1$ .

Аналогичные изменения происходят и в частотных кривых (3) или частотных кривых при фиксированной частоте контура генератора и перестройке частоты нагружающего контура. При  $\theta=\pi$  при увеличении  $k$  от  $k < k_1$  к  $k > k_1$ , изменяется характер связи, что особенно заметно на частотных кривых, так как при резистивном характере связи в отличие от реактивного собственные частоты системы расположены между парциальными частотами. При  $\theta \neq 0$  или  $\pi$  деформация частотных кривых может быть объяснена еще и тем, что при  $k \neq 0$  происходит изменение парциальной частоты второго контура  $\nu_2$  за счет влияния однонаправленного канала связи:

$$\nu_2' = \nu_2 + \delta_2 \frac{k}{\alpha_2} \sin \theta. \quad (6)$$

Разность  $\nu_2' - \nu_2$  и соответственно деформация кривых максимальны при  $\theta = \pm \frac{\pi}{2}$ .

Экспериментальная проверка теоретических выводов проводилась на двухконтурном ламповом генераторе в радиодиапазоне.

Канал однонаправленной связи включал в себя многокаскадный широкополосный усилитель, фазовращатель и катодный повторитель. Выход катодного повторителя индуктивно связан со вторым контуром. Коэффициент передачи и фаза сигнала, передаваемого по каналу связи, могли регулироваться и фиксироваться. При этом коэффициент передачи канала связи не превышал единицы.

Полученные экспериментально амплитудные кривые хорошо совпадают с кривыми (2) как при  $\theta=0$  или  $\theta=\pi$ , так и при  $\theta \cong \pm \frac{\pi}{2}$ .

Экспериментально была также проверена зависимость максимальной амплитуды колебаний во втором контуре  $u_{2 \max}$  от  $k$  при фиксированном значении  $\alpha_2$  и при различных значениях  $\theta$ . Результаты эксперимента приведены на рис. 2.

При  $k/\alpha_2 \cong 1$  и  $\theta \cong \pi$  амплитуда колебаний во втором контуре стремится к нулю, т. е. напряжение, наводимое в контуре за счет симметричной связи, полностью компенсируется напряжением, наводимым за счет однонаправленного канала.

Частотные кривые экспериментально исследовались для случая перестройки нагружающего контура. Они также хорошо совпадают с расчетами. Наиболее наглядно влияние величины  $k$  на характер связи видно для случая  $\theta = \pi$ . На рис. 3 приведены результаты эксперимента для случаев  $k=0$  (кривая 1)  $k=k_1$ ,  $\theta=0$  (кривая 2) и  $k=k_1$ ,  $\theta=\pi$  (кривая 3). Как видно из этих кривых, величина эффективной связи при фиксированном  $k$  существенно зависит от  $\theta$ , стремясь к минимальной для кривой 3. При  $k_2 > k_1$  при  $\theta=0$  частотная кривая — выраженная кривая двухконтурной системы с реактивной связью (кривая 4), а при  $\theta=\pi$  — системы с резистивной связью.

Таким образом, проведенное теоретическое и экспериментальное исследование двухконтурной автоколебательной системы с двумя типами связи (обычной реактивной и однонаправленной) позволило выявить ряд новых особенностей поведения таких систем в стационарном режиме при реактивной связи меньше критической. В частности, получено, что наличие однонаправленного канала связи существенно изменяет как величину, так и характер полной эквивалентной связи между парциальными системами, что приводит к заметному отличию амплитудных и частотных кривых рассматриваемой системы от аналогичных кривых в системах с симметричной связью.

## ЛИТЕРАТУРА

1. Шмелев А. Б. «Радиотехника и электроника», № 4, 751, 1970.
2. Альтшуль Б. А., Рубаник В. П. «Изв. вузов», радиофизика, 6, № 1, 137, 1963.
3. Ирисов Е. А., Хохлов Р. В. «Вестн. Моск. ун-та», физ., астроном., № 2, 137, 1958.
4. Курдюмов О. А., И. И. Минакова. «Радиотехника», 24, № 6, 65, 1969.

Поступила в редакцию  
15.9 1971 г.

Кафедра  
физики колебаний

УДК

А. А. БЕЛОВ, Л. Г. ВИКРИСТЮК

## ОБ УПРАВЛЕНИИ ПАРАМЕТРОНАМИ С ПОМОЩЬЮ ВИДЕОСИГНАЛОВ

Техническое применение одноконтурных параметрических генераторов основано в основном на управлении условиями возбуждения и фазой возбуждающихся колебаний. Управление условиями возбуждения осуществляется в большинстве случаев за счет модуляции либо амплитуды напряжения накачки, либо затухания или расстройки колебательного контура самого параметрического генератора. Управление же фазой возбуждающихся колебаний осуществляется почти исключительно путем подачи извне в контур параметрического генератора высокочастотного напряжения с той же частотой, что и возбуждающееся колебание и с требуемой фазой<sup>1</sup>. В ряде случаев более удобным было бы управление работой параметрического генератора с помощью видеосигналов. В данной заметке и рассмотрена одна из возможностей управления работой одноконтурного параметрического генератора с помощью видеосигналов, которая позволяет управлять как возбуждением генератора, так и фазой возбуждающихся в нем колебаний.

Упрощенная схема рассматриваемого генератора показана на рис. 1. Ее особенностью является использование накачки на частоте, равной частоте возбуждающихся в параметрическом генераторе колебаний. Возбуждение параметрического генератора осуществляется за счет второй гармоники в спектре емкости параметрических диодов. Генератор собран по мостовой схеме. Мост образован вторичной обмоткой трансформатора накачки  $T_r$ , имеющей вывод от средней точки, и двумя пара-

<sup>1</sup> См. А. Е. Каплан, Ю. А. Кравцов, В. А. Рылов. Параметрические генераторы и делители частоты. М., «Советское радио», 1966.